

Ga-Pb

E 6161

1967

26a₃ · Sn₂; Ba₃ · Pb₂

26a₃ · Pb₂ (Tm, inc)

Федоров Г.И., Ком. Г. А.,
Никольская А. Н.

Ир. неорганические,

1967, 12 № 10, 2818-21

1969

Pb Ga Se₄

=₂

T_m

X · 1969 ·

23

23 Б817. Изучение систем PbSe—Ga₂Se₃ и PbSe—GaSe. Eholté Rose, Kamsu Kom Jacques, Flahaut Jean. Etude des systèmes PbSe—Ga₂Se₃ et PbSe—GaSe. «C. r. Acad. sci.», 1969, C268, № 8, 700—702 (франц.)

Методами ДТА и рентгеновского анализа изучены системы PbSe (I) — Ga₂Se₃ и I — GaSe. В системе I — Ga₂Se₃ существует соединение PbGa₂Se₄, к-рое плавится с разложением, переходя в тв. р-р на основе Ga₂Se₃ при 781°, и образует эвтектику с I при 731° и 33 мол. % I. Параметры ромбич. решетки PbGa₂Se₄ равны $a = 10,64$; $b = 10,74$; $c = 6,36\text{ \AA}$. В тв. р-ре на основе Ga₂Se₃ плавится до 14,9 мол. % I; при этом параметр кубич. решетки типа цинковой обманки уменьшается с 5,427 до 5,403 \AA . В псевдобинарной системе I — GaSe зафиксирована простая эвтектика при 700° и 50 мол. % GaSe. Л. В. Шведов

Pb₉Ga₂F₂₄

Pb(GaF)₆9

Pb Ga F

T_m

X. 1970.

BP- 8257-XIV

1970

17 Б785. Двойные фториды галлия и свинца. Chassaigne Jean, Erib Alfred. Fluorures ternaires de gallium et de plomb. «С. г. Acad. sci.», 1970, C270, № 10, 949—951 (франц.)

Исследовались р-ции в тв. фазе в системе GaF₃—PbF₂. Диаграмма равновесия жидкость — тв. фаза получена методом ДТА при скоростях нагревания 60, 120 и 300 град/час. Приведена фазовая диаграмма изученной системы. Показано образование кубич. тв. р-ров (Pb_{1-x}Ga_x)F_{2+x} при $0 < x \leq 0,11$ (параметр a изменяется от 5,939 до 5,893 Å). При 24° определена плотность тв. р-ров: при $x = 0,07$ и $0,11$ d соотв. 7,72 и 7,62. Установлено образование трех соединений: Pb₉Ga₂F₂₄, плавящееся инконгруэнтно (приведены межплоскостные расстояния); Pb₃(GaF₆)₂, плавящееся конгруэнтно при 626° (тетрагон. a 14,26, c 7,39 Å); PbGaF₅, плавящееся инконгруэнтно (тетрагон., a 14,42, c 7,30 Å). А. Ф. Борина

17

Pb₃(GaF₆)₂

B9-8251-XIV 1970

37453f Gallium and lead ternary fluorides. Chassaing,
Jean; Erb, Alfred (Lab. Chim. Miner., Sorbonne, Paris, Fr.).
C. R. Acad. Sci., Ser. C 1970, 270(10), 949-51 (Fr). Cryst-
tallographic data and DTA show that in solid solns. of GaF₃ in
PbF₂, 3 compds. are formed: Pb₉Ga₂F₂₄, (peritectic reaction at
571°), Pb₃(GaF₆)₂, (tetragonal *a* 14.26 and *c* 7.39 Å, melts
congruently at 626 ± 5°), and PbGaF₆ (tetragonal *a* 14.42 and
c 7.30 Å).

M. M. de Maine

C.I.A. 1970-79-26

1972

PbGaSe

2

39763r Lead-gallium-selenium ternary system. Eholie,
 Rose; Flahaut, Jean (Lab. Chim. Miner., Fac. Sci. Abidjan,
 Abidjan, Ivory Coast). *Bull. Soc. Chim. Fr.* 1972, (4), 1245-9
 (Fr). Several quasi-binary systems were obsd. in the phase
 diagram of the Pb-Ga-Se system: (1) Ga_2Se_3 -PbSe system with
 a solid soln. of PbSe in Ga_2Se_3 ($\text{Ga}_{(8-2x)/3}\text{Pb}_x\text{Se}_4$ with $0 < x <$
 0.08) having a deformed blende-type structure; a eutectic at
 732° and 50 at. % Pb with $\text{PbGa}_2\text{Se}_4(s) + \text{PbSe}(s) \leftrightarrow \text{liq.}$;
Tm orthorhombic PbGa_2Se_4 ($a = 10.64$, $b = 10.77$, $c = 6.36$ Å, space group
 $Bbmm$ or $Bbmb$, $d.(exptl.) = 5.73$, $d.(calcd.) = 6.04$, $Z = 4$)
 incongruently m. 780° corresponding to the peritectic equil.
 $\text{PbGa}_2\text{Se}_4(s) \leftrightarrow \text{Ga}_2\text{Se}_3(s) + \text{liq.}$; (2) GaSe-Pb with a monotectic
 at 820° with the equil. L_1 (liq.) $\leftrightarrow \text{GaSe}(s) + L_2$ (liq.) corre-
 sponding a broad liq. miscibility gap extending from ~ 15 to
 ~ 85 at. % Pb. A ternary peritectic was obsd. at 700° and
 27 at. % Pb, liq. + $\text{Ga}_2\text{Se}_3(s) \leftrightarrow \text{GaSe}(s) + \text{PbGa}_2\text{Se}_4(s)$. A
 ternary eutectic was obsd. at $\sim 324^\circ$.

C.A. 1972 · Pt. 6

Ga-Pb (neutral)

XV-1099

1973

76607j Thermodynamic properties of liquid gallium alloys.
I. Gallium-lead. Desideri, Alessandro; Piacente, Vincenzo
(Lab. Chim.-Fis. Elettrochim., Univ. Roma, Rome, Italy). *J. Chem. Eng. Data* 1973, 18(1), 90-3 (Eng). Vapor pressure measurements were made on liq. Pb and Ga-Pb alloys by using the torsion effusion technique. From the resulting Pb activities, the values for the Ga component were calcd. by the Gibbs-Duhem integration at 1143°K. Wide deviations from ideal behavior were obstd. By use of previous calorimetric enthalpies, entropy values for the alloys and for their components were derived.

(P; S.)

C.A.1973.78 N12

GaPb_x (cubic)

U-187

1973

102749d Thermodynamic properties of liquid gallium-lead alloys. Kwong, A. F.; Munir, Z. A. (Sch. Eng., California State Univ., San Jose, Calif.). *J. Less-Common Metals* 1973, 30(3), 387-95 (Eng). Thermo. functions for the liq. binary Ga-Pb were calcd. from measured activities in the compn. range 10-90 at. % Pb. Enthalpies and excess entropies of mixing were found to be pos. over this range at 1000°K. Combining the free energies calcd. in this study with the recently reported heats of mixing, a more reliable set of entropy functions for the Ga-Pb system has resulted. These results are discussed in the light of available information on other alloys of Pb with Group IIIA metals.

ΔH_{mix}

ΔS_{mix}

C.A. 1973. 78 n 16

Bi-Pb-Ga

1973

4 A160. Теплоемкость манганиновой проволоки и сплава Вуда при низких температурах. Marklund K., Byström S., Larsson M., Lindqvist T. Low temperature heat capacity of manganin wire and Wood's metal. «Cryogenics», 1973, 13, № 11, 671—672 (англ.).

Измерения проведены в области т-р 0,6÷9,2° К в ^3He -криостате. Результаты для манганина описываются формулой $C = 0,036 \cdot T^{-2} + 0,056T + 0,00602T^3 - 2,92 \cdot 10^{-5} T^5$ (мдж/г·град), для сплава Вуда $C = 0,018 - 0,064T + 0,074T^2 - 0,032T^3 + 0,0090T^4 - 0,00052 T^5$ (мдж/г·град).

Р 1974 NY

Ga-Pb
(сплав)

1973

Чиев Н. Р.
Сривасане Н. Т.,
Патокин А. В.

(cp)

Сб. научн. тр. Пермского
политехн. ин-та"
1973, № 135, 77-80

[ав. Bi-Zn (сплав)]₁

1978

PbO - Ga_2O_3
(parabol. graph.)

S9: 31653g Phase diagram of the binary system lead(II) oxide-gallium oxide. Nevriva, M.; Pollert, E.; Fischer, K. (Inst. Solid State Phys., Czech. Acad. Sci., Prague, Czech.). *Mater. Res. Bull.* 1978, 13(5), 473-6 (Eng). The phase diagram of the PbO-Ga₂O₃ system was detd. by DTA and x-ray measurements. The existence of PbGa₂O₄ in the investigated system was confirmed. Pb₂Ga₂O₅ and PbGa₁₂O₁₉ were not found.

C.A. 1948, 89, 84

Pb(GaCl₄)₂ XV-3703

1979

Ригоров Г. И.

(T_{minc}) И. И. Ригоров. Журнал,
1979, 24, №3, 777-780.

Р.И. Ригоров, 1979, 145839.

1979

PbO - Ga_2O_3

→

91: 217657h Calculation of binary phase diagram curves in the lead(II) oxide-gallium(III) oxide system. Nevriva, M.; Pollert, E.; Fischer, K. (Inst. Phys., Czech. Acad. Sci., 18040 Prague, S Czech.). *Thermochim. Acta* 1979, 34(1), 85-9 (Eng). A model of the regular behavior of binary solns. was employed for the calcn. of the liquidus curves in the PbO-Ga₂O₃ system. The unknown thermodn. data necessary for the calcn. were detd. exptl. and/or calcd. from the equil. at the invariant points, resp. The calcd. curves are compared with those detd. exptl.

pagobas
guasp.

C.A. 1979, 91, 166

1979

PbO - Ga_2O_3

PbO - Gd_2O_3

Ga_2O_3 - Gd_2O_3

92: 117254b Calculation of the liquidus curve of the pseudobinary phase diagram of lead(II) oxide-gadolinium gallium garnet from DTA data. Nevriva, Milos; Holba, Pavel (Fyz. Ustav, CSAV, 18040 Prague, 8 Czech.). Zb. Celostatnej Konf. Term. Anal., 8th 1979, 189-92 (Czech). Slov. Chiem. Spoločnosť SAV: Bratislava, Czech. Calen. of the liquidus curve of the title system from equil. date on binary systems PbO-Ga₂O₃, PbO-Gd₂O₃, and Ga₂O₃-Gd₂O₃ is described. The necessary data of these binary systems (temp. of incongruent and eutectic melting and enthalpy of melting of eutectic mixt.) were obtained by DTA.

A. Bekárová

(ΔH_m ; T_m)

④-2

C.A. 1980, 92 n 14

$PbGa_2S_4$

$PbIn_2S_4$

Синтез

(+)

(X)

д. 1981.11.15

15 В13. Получение тиогаллата и тиоинданта свинца и исследование их некоторых свойств. Головей В.М. «Разраб. и исслед. нов. материалов и композиций на их основе». Киев, 1980, 85—88

19
80

Разработана методика синтеза сплавов состава $PbGa_2S_4$ (I) (зел.-жел. пластинчатые кристаллы т. пл. 875°) и $PbIn_2S_4$ (II) (тонкие иглы серо-черн. цвета с металлическим блеском, т. пл. 890°). Проведена идентификация полученных в-в методами ДТА и рентгенофазового анализа, изучена их микроструктура. Определены энталпии пл., составившие 44,34 (I) и 45,11 (II) кДж/моль·град; рассчитаны энтропии пл. (50,67 и 50,68 Дж/моль·град для I и II соотв.). Методом вертикальной направленной кристаллизации получены слитки, содержащие крупноблочные монокрист. участки. Сняты лаурэограммы образцов. Методом вдавливания алмазной пирамидки измерена микротвердость I на Пв скола, равная 189 ± 10 кгс/мм² по всему сколу. Методом гидростатич. взвешивания в толуоле определена плотность I, составившая 4,80 г/см³. Установлена область пропускания I (0,48—13,6 мкм). Соединения I, II устойчивы на воздухе, нер-римы в воде, сп., бзл., толуоле, CCl_4 , ац., минер. кислотах (кроме азотной кислоты).

Н. Е. Кручинина

1981

$2\text{GaCl}_3 \cdot \text{PbCl}_2$

94: 198250p Interaction of lead(II) chloride with gallium in melts. Afinogenov, Yu. P.; Larionova, T. N. (Voronezh. Gos. Univ., Voronezh, USSR). *Izv. Vyssh. Uchebn. Zaved., Khim. Khim. Tekhnol.* 1981, 24(1), 3-5 (Russ). Interactions were studied in ternary reciprocal system ($3\text{PbCl}_2 + 2\text{Ga} = 2\text{GaCl}_3 + 3\text{Pb}$) melts. The phase diagram was constructed from data for a series of cross sections. The effects of Ga_2Cl_4 formation are discussed. Concn. boundaries for the sepg. out of Pb and Pb-Ga alloys were established. $2\text{GaCl}_3 \cdot \text{PbCl}_2$ incongruently m. 186° and PbCl_2 32%.

(Tm)

C.A. 1981, 94, N24

GaSb-Pb

1981

Gerdes F., et al.

SHmix

J. Less-Common

Met. 1981, 79(2), 315-
-321.

(c.c. AlSb-Pb; ?)

PbGa₂S₄

1981

21 Б852. Система Ga₂S₃—PbS. Головей В. М.,
Оболончик В. А., Головей М. И. «Ж. неорганической
химии», 1981, 26, № 7, 1976—1978

Tи

Методами ДТА, рентгенофазового, микроструктурного и количественного термического анализов изучен разрез Ga₂S₃—PbS тройной системы Pb—Ga—S в области концентраций 30—100 мол. % PbS. В системе образуется одно тройное соединение PbGa₂S₄, плавящееся без разложения при 875 °С. Область гомогенности простирется от 49,4 до 50,9 мол. % PbS.

Резюме

X. 21. 1981

1981

PbGa₂S₄

13 Б553. Получение и исследование некоторых свойств PbGa₂S₄. Головей В. М., Оболончик В. А., Лада А. В. «Изв. АН СССР. Неорг. материалы», 1981, 17, № 3, 540—541

Прямым ампульным синтезом получено соединение PbGa₂S₄. Вертикальной направленной кристаллизацией выращены его монокристаллы, идентификация к-рых проведена методами ДТА, РФА и хим. анализом. Кристаллы желт. цвета, ромбич. ($a = 20,69$, $b = 20,51$, $c = 12,23$ Å), раскалываются по плоскости спайности (100). Установлено, что микротвердость на плоскости (100) равна 189 кг/мм², ρ = 4,80, область пропускания 0,45—12,5 мкм, ширина запрещенной зоны $E_g = 2,67$ эВ.

Автореферат

Х-1981.113

PbGa₂S₄

1981

5 Б958. Исследование состава паров PbGa₂S₄ и PbIn₂S₄. Гордиенко С. П., Головей В. М., Оболончик В. А. «Укр. хим. ж.», 1981, 47, № 9, 931—933

Сплавлением элементарных компонентов получены тиогаллат и тиоинидат свинца, проведена их идентификация. С помощью масс-спектрометра МИ-1305, приспособленного для высокот-рных исследований, изучен состав паров PbGa₂S₄ и PbIn₂S₄. Установлено, что они содержат в основном молекулы PbS, Ga₂S, In₂S и S₂, причем в начальных стадиях при низких т-рах наблюдается предпочтительное испарение сульфида свинца. Резюме

Kpj

(H)

⊗



X. 1982, 19, N5.

$n \cdot PBS \cdot m GaS_3$

1982

Edwards T. G.

mepugum.
scraperius

Mater. Sci. Monogr.
1982, 10, 316-20.

(Cer. $nPBS \cdot m InS_3$; \bar{I})

Pb₉Ga₈O₂₁

1982

15 Б361. К кристаллохимии оксоплюмбатов (2+).
II. Синтез и строение Pb₉Ga₈O₂₁. Pötz K.-B.,
Müller-Buschbaum Hk. Zur Kristallchemie der
Oxoalumbate (II). II. Synthese und Aufbau von
Pb₉Ga₈O₂₁. «Z. anorg. und allg. Chem.», 1982, 484, № 1,
153—157 (нем.; рез. англ.)

Синтезирован (взаимодействием смеси PbO и Ga₂O₃
в отношении 9:1 при т-ре 850°) и рентгенографически
изучен (МНК, анизотропное приближение, R 0,065 для
993 отражений) крист. Pb₉Ga₈O₂₁ (I), идентичный ранее
описанному крист. Pb₂Ga₂O₅. Для I установлена
изоструктурность с Pb₉Al₈O₂₁. Кристаллы I кубич.,
a 13,44 Å, Z 4, ф. гр. Pa3. Основу структуры I со-
ставляет сложный трехмерный каркас из тетраэдров
GaO₄(Ga—O 1,77 и 1,85 Å), образованный 6 и 8-член-
ными кольцами Ga₆ и Ga₈. В пустотах каркаса распо-
лагаются атомы Pb в неправильной координации из 6
и 8 атомов O (Pb—O 2,24—3,36 Å). Атомы Pb груп-
пируются в известные для др. оксоплюмбатов класте-
ры [Pb₉O₂]¹⁴⁺.

С. В. Соболева

схему и
строение

X. 1982, 19, N 15.



1982

Plötz K.-B., Müller-
Buschbaum Hk.

raphaeoepes
perniciens.

Z. anorg. und allg.
Chem., 1982, 488,
NS, 38-44.

(crys. PbAl_2O_4 ; ?)

Pb₃GeGa₁₀O₂₀

1983

6 Б2075. Структуры Pb₃GeGa₁₀O₂₀ и Ba₃SnFe₁₀O₂₀. Structures of Pb₃GeGa₁₀O₂₀ and Ba₃SnFe₁₀O₂₀. Cadee M. C., Verschoor G. C., Ijdo D. J. W. «Acta crystallogr.», 1983, C39, № 8, 921—925 (англ.). Место хранения ГПНТБ СССР

Проведено рентгенографич. изучение (λ Mo, анизотропный МНК, R 0,031 для 1161 отражений) соединения Pb₃GeGa₁₀O₂₀ (I) (синтезированного взаимодействием PbO, GeO₂ и Ga₂O₃ при т-ре 870 К) и нейтронографич. изучение при 873 К (λ 2,8563, метод порошка, монохроматор Cu(111), 20 от 5,4 до 138,6° с шагом 0,072, уточнение полнопрофильным методом по ритвельдовской программе до R_{wp} 12,6% для 208 отражений) соединения Ba₃SnFe₁₀O₂₀ (II) (синтезированного взаимодействием BaCO₃, SnO₂ и Fe₂O₃ при т-ре 1470 К). Соединения I и II изоструктурны между со-

Структура

(A) 18

KTe

X. 1984, 19, N6

бой и с $Pb_3GeAl_{10}O_{20}$ и $Va_3TiAl_{10}O_{20}$; параметры монокл. решеток ($Z=2$, ф. гр. $I2/m$): I $a = 14,751 \text{ \AA}$, $b = 11,695$, $c = 5,106$, $\beta = 90,23^\circ$, $\rho(\text{выч.}) = 6,45$; II $a = 15,4430$, $b = 11,9068$, $c = 5,2473$, $\rho(\text{выч.}) = 4,85$. Структуры I (II) содержат гофрированные слои, образованные соединенными вершинами тетраэдрами вокруг атомов Ga(Fe), сгруппированными в 6-членные кольца (в I $Ga-O = 1,81-1,87 \text{ \AA}$, в II $Fe-O = 1,82-1,92$). Между собой тетраэдрич. слои соединены в трехмерный каркас за счет общих вершин и ребер с октаэдрами вокруг атомов Ge, Ga и Pb в I ($Ge-O = 1,93$, $Ca-O = 1,95$, $2,06$, $Pb-O = 2,54$, $2,76$) и статистически распределенных атомов Sn и Fe и атомов Va в II ($Sn, Fe-O = 1,99$, $2,08$, $Va-O = 2,68$, $2,84$). В пустотах каркаса распределяются дополнительные атомы Pb в I, находящиеся в 8-кратной координации ($Pb-O = 2,32-3,28$) и атомы Va в II, находящиеся в 7-кратной координации ($Va-O = 2,55-3,07$).
С. В. Соболева

$PbGa_2S_4$

1983

(Tm)

99: 28791b Lead(II) sulfide-gallium sulfide and gallium sulfide-lead systems. Melikova, Z. D.; Rustamov, P. G. (Inst. Neorg. Fiz. Khim., Baku, USSR). *Zh. Neorg. Khim.* 1983, 28(6), 1626-8 (Russ). Phase diagrams for the 2 systems are presented. In the system $PbS-Ga_2S_3$, a ternary compd., $PbGa_2S_4$ (I), is formed, which m. congruently at 1148 K. Eutectics are formed between I and both end components for 34 and 58 mol% Ga_2S_3 , m. at 933 and 1023 K, resp. The 2nd system, Ga_2S-Pb is a nonquasibinary section of the $Ga-PbS$ system.

C. A. 1983, 99, N.Y.



1984

Abrahams S. C., Ra-
vez J., et al.

T_{tr} ;

J. Appl. Phys., 1984,
55, N8, 3056 - 3060.

(cui. $\text{Pb}_3(\text{TiF}_6)_2$; $\overline{1}$)

1984

$(PbTe)_{1-x}(GaAs)_x$

$0 \leq x \leq 0,1$

6 Е388. Термопроводность теллурида свинца, легированного арсенидом галлия. Раевский С. Д. «Материалы для полупровод. электронн.», Кишинев, 1984, 110—114

Приведены результаты изучения теплопроводности сплавов системы $(PbTe)_{1-x}(GaAs)_x$ при $0 \leq x \leq 0,1$ и 300 К. Показано, что фононная теплопроводность уменьшается не только в области образования твердых растворов на основе теллурида свинца, но и в близкой к линии растворимости двухфазной области. Рост общей теплопроводности при $x > 0,03$ объясняется фононной составляющей второй фазы.

Резюме

Межотраслев.

Ф. 1984, 18, № 6.

Pb₆Fe₂S₄(K) COM 22012 1985

Pb₂Fe₆S₁₁ Edwards J. G.,

Pb₄Fe₆S₁₃

Pb₆Fe₂S₅

High. Temp. Sci., 1985,
19, N1, 93-107.

KP, Δ_fH;

1986

Исследование системы PbTe—Ga₂Te₃ вблизи PbGa₆Te₁₀
/ Дедегаев Т. Т.; Дугужев Ш. М., Жукова Т. Б. и др.
// Изв. АН СССР. Неорган. материалы.— 1986.— Т. 22,
№ 10.— С. 1741—1743.

Библиогр.: 11 назв.

— — 1. Свинец, теллуриды — Исследование в системах. 2. Галлий. теллуриды — Исследование в системах.

№ 14]207
14 № 9555
ВКП 26.12.86
Изд-во «Книга»

УДК 546.815'681'24
ЕСКЛ 8.5

Селеногаллаты свинца 1986

> 23 Б3101 Деп. Исследование термического испарения селеногаллата свинца. Колинько С. А., Рубиш И. Д., Микуланинец С. В., Риган М. Ю.; Ужгород. ун-т. Ужгород, 1986. 7 с., ил. Библиогр. 3 назв.

Рус. (Рукопись деп. в УкрНИИНТИ 09.06.86, № 1295—Ук)

Исследован процесс термич. испарения соединения $PbGa_2Se_4$ на масс-спектрометре статич. типа МИ-1201. Установлено, что селеногаллат свинца испаряется инконгруэнтно по схеме $2PbGa_2Se_4 \rightarrow PbGa_2 + Ga_2Se + Pb + 7/2 Se_2$. Испарение соединения $PbGa_2Se_4$ начинается при т-ре испарителя 950 К, причем до 1070 К пар состоит в основном из молекул $PbGa_2$, дальнейшее увеличение т-ры испарителя вызывает появление в паре также Ga_2Se , Se_2 и Pb . Исследование т-рных зависимостей ионных токов для различных фрагментов пара

(Р)

X. 1986, 19, № 23.

позволило определить температуры испарения и паровые зависимости парциальных давлений основных парогазовых компонент. Результаты, полученные в работе, могут быть использованы при разработке технологии получения тонких пленок $PbGa_2Se_4$. Автореферат

$(PbS)_x(Ga_2S_3)_y$ (от 24839) 1986

$Pb_2Ga_2S_5$ кур

5 Б3044. Термодинамика и химия испарения системы $PbS-Ga_2S_2$. Thermodynamics and vaporization chemistry in the $PbS-Ga_2S_2$ system. Williamson M. A., Edwards J. G. «Thermochim. acta», 1986, 107, 83—100 (англ.)

Эффузионным методом Кнудсена и эффузионно-торзионным методом, объединенными в одной эксперим. установке, в интервале т-р 898—1267 К исследована сублимация системы $PbS-Ga_2S_3$ из графитовых ячеек. Исходные препараты $(PbS)_x(Ga_2S_3)_y$, где $x=0,1; 0,2; \dots 0,9$ и $x+y=1$, синтезировались нагревом в запаянном объеме стехиометрич. кол-в элементов. При сублимации исходного образца $Pb_2Ga_2S_5$ (I) обнаружена моновариантность давления для составов I, $Pb_4Ga_6S_{13}$ (II), $PbGa_2S_4$ (III), $Pb_2Ga_6S_{11}$ (IV) и Ga_2S_3 (V). Между IV и V наблюдается бивариантная зона, свидетельствующая об образовании тв. р-ра. Для составов I—V табулированы численные значения коэф.

$K_p, \Delta H$

X. 1987, 19, N 5

в ур-ниях $\lg K_p = A/T + B$. По 2 и 3-му законам определены ΔH^0_{298} след. гетерог. р-ций: $3/2 \text{ I} = \text{PbS(g)}$ (**VI**) + $1/2 \text{ II}$, $233,6 \pm 0,4$; $\text{II} = \text{VI(g)} + \text{III}$ $237,9 \pm 1,0$; $3 \text{ III} = \text{VI} + \text{IV}$ $256,6 \pm 0,7$; $1/2 \text{ IV} = \text{VI} + \text{V}$ (тв. р-р) $270 \pm 0,7$; PbS (тв. р-р в **V**) = **VI** $269,9 \pm 1,5$ и **V** = $= \text{Ga}_2\text{S(g)} + \text{S}_2$ $654 \pm 1,5$ кДж/моль. Комбинацией полученных и лит. данных найдены значения $-\Delta H^0_{298}$ р-ций в тв. фазе $x \text{ PbS} + y \text{ Ga}_2\text{S}_3 \cdot \text{Pb}_x\text{Ga}_{2y}\text{S}_{x+3y}$: $39,90 \pm 4,0$ при $x=2$ и $y=3$, $35,43 \pm 3,0$ при $x=1$ и $y=1$, $28,52 \pm 3,0$ при $x=4$ и $y=3$, $20,18 \pm 2,0$ кДж/моль при $x=2$ и $y=1$. Масс-спектрометрич. эксперимент, проведенный в интервале т-р 963—1158 К с исходным составом **II**, подтвердил интерпретацию данных, полученных комбинацией эффузионно-торзионного и эффузионного методов.

В. В. Чепик

IV
atal.

PbGa₆Te₁₀

1987

23 Б3069. Исследование системы PbTe—Ga₂Te₃.
Баранец С. М., Дедегаев Т. Т., Дугужев Ш. М.,
Мошников В. А., Туркина Е. Д. «Изв. АН СССР. Не-
органические матер.», 1987, 23, № 7, 1121—1224

Методами ДТА, РФА, микроструктурного анализа и
рентгеноспектрального микроанализа исследована си-
стема PbTe—Ga₂Te₃ и построена диаграмма состояния.
Установлено существование тройного соединения
PbGa₆Te₁₀ (I), образующегося по перитектич. ре-
акции при т-ре $(737 \pm 3)^\circ\text{C}$. I образует с PbTe эвтектику со-
става (43 ± 2) мол. % Ga₂Te₃, с $T_{пл} = (678 \pm 3)^\circ\text{C}$.

11/1

X.1987, 19, N 23

baPbx

1987

112: 106239f Gallium-lead system. Determination of molar heat capacities. Rebouillon, P.; Hassam, S.; Bros, J. P.; Gambino, M. (Univ. Provence, 13331 Marseille, 3 Fr.). *Calorim. Anal. Therm.* 1987, 18, 165-73 (Fr). A novel approach was taken in the study of systems with miscibility gaps, by detg. the molar heat capacities as functions of temp. and compn. over the liq. one-phase and two-phase regions. The results of such studies lead to a better definition of the two-phase regions and contributes to the knowledge of the metallic liq. state. The heat capacities of the Ga-Pb system were detds. for the alloys contg. 24.5, 50, 71.8 and 96.1 at.% Pb. at temps. between 421 and 923 K. The first 3 systems show demixing regions in the liq. state, the fourth at the monotectic compn. of 95.2 at.%. For all compns. the anomalies are clearly defined.

(G)

c.A.1990, 112, N 12

GaPb_x

1990

115: 241218a Enthalpy of formation and phase diagram of the gallium-lead system. Miane, J. M.; Rebouillon, P.; Baret, R.; Gambino, M.; Bros, J. P. (Lab. Chim. Gen., Fac. Pharm., 13385 Marseille, Fr.). *An. Fis., Ser. B* 1990, 86(2, Espec.), 157-9 (Frng). By using a high-temp. Calvet calorimeter, the molar enthalpies of formation of liq. Ga-Pb alloys were measured at 890 K for a large range of concn. DTA expts. and heat capacities measurements in the solid and liq. states have been conducted by using a DSC calorimeter in order to confirm the limits of the miscibility gap.

(SHf)

c.A.1991, 115, N 22

баз
баз

1991

6 Б3060. Система Ga—Pb (галлий—свинец). The Ga-Pb (gallium-lead) system / Ansara I., Ajersch F. // J. Phase Equilibria [бывш. Bull. Alloy Phase Diagr.]. — 1991. — 12, № 1. — С. 73—77. — Англ.

Обзор. Обобщены лит. данные по фазовым соотношениям в системе Ga—Pb. Представлена фазовая диаграмма системы, в к-рой имеется монотектич. превращение при 94,5—96,9 ат.% Pb и 311—317° С. Т. пл. чистых Ga и Pb 29,7741 и 327,502° С соотв. Приведены нек-рые термодинамич. и кристаллографич. х-ки фаз. Библ. 10.

Л. Г. Титов

термодин
характер

Х. 1992, № 6

Ga-Pb

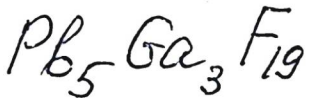
1991

3 E777. Система Ga—Pb (галлий—свинец). The Ga—Pb (gallium—lead) system / Ansara I., Ajersch F. // J. Phase Equilibria [бывш. Bull. Alloy Phase Diagr.]. — 1991.— 12, № 1.— С. 73—77.— Англ.

Приведены расчетные и экспериментально определенные значения точек ликвидус и солидус, параметры решеток кристаллич. фаз, расчетные и эксперим. значения активности Pb при 1000 К, а также энталпии смешения.

Amir

Ф. 1992, № 3



1991

Ravee J.,
Andrianampiarina V.,
et. al.

T_{tr}

J. Appl. Phys. 1991.

40, n3. C. 1331-1336,

(see $\text{Pb}_5\text{Al}_3\text{F}_{19}$; ?)

Ga Pb x

Gambino

1995

C_p u gaf
particulé

124: 295895y Heat capacities and phase equilibria. Gambino, M.; Bros, J. P. (IUSTI-CNRS UMR 138, Universite de Provence, 13397/20 Marseille, Fr.). *Calorim. Anal. Therm.* 1995, 26(26emes Journees de Calorimetrie et d'Analyse Thermique, 1995), 101-6 (Fr). Heat capacities and phase equils. were studied for the Ga-Pb alloy system. Published authors' data on Lu-Pb, Yb-Pb, and Cd-Hg-Te alloy systems were also evaluated.

C. A. 1996, 124, N 22